

## **Identification and genesis of clay minerals in two paleosols from Sepahanshahr( Isfahan) and Emam\_Gheis (Chahrmahal \_Bakhtiari)**

**Ayoubi, Sh.**

*Soil Science Dep., College of Agriculture, Isfahan University of Technology*

**Jalalian, A., Eghbal, M.K., Khademi, H.**

*Soil Science Department, College of Agriculture, Isfahan University of Technology*

**Rouzitalab, M.H.**

*Research, Education and Propagation Organization, Ministry of Jaghade\_Agriculture*

**Key words:** *Clay minerals, Paleosols, X-ray Diffraction, Infrared, Electron microscope.*

**Abstract:** Existence and frequency of clay minerals is useful for reconstruction of paleoenvironment, because each mineral is formed and stabilized in special condition. The objective of this study was to identify clay minerals and their genesis in two paleosols from Isfahan and Charmahal-Bakhtiari. Through field observations and physico-chemical analysis, some horizons in these soils were selected for mineralogical studies. Soil and parent material samples were analyzed by XRD after necessary pretreatments. A few of samples were studied by scanning electron microscope and infrared spectrometer. The results indicate that mineralogical composition in surface horizon of Sepahanshahr profile is similar to parent material, whereas in the underlying paleohorizons palygorskite predominates. Lack of palygorskite in parent material on one hand and elongated shape of this mineral accompanied by calcite and gypsum in the paleohorizons on the other hand show that, it has formed pedogenically. In the soil surface of Emam\_Gheis soil, the composition of clay minerals is also similar to parent material, but chlorite has been converted to vermiculite and subsequently to smectite, due to relatively high precipitation in this area. Presence of high amount of smectite in buried paleosol of Emam\_Gheis probably indicates moister regime in the past.

**پژوهشی**

## شناسائی و بررسی چگونگی تشکیل کانیهای رسی در دو پارینه خاک منطقه سپاهان شهر اصفهان و امام قیس چهار محال وبختیاری

شمس الله ایوبی، احمد جلالیان، مصطفی کریمیان اقبال، حسین خادمی  
دانشکده کشاورزی، دانشگاه صنعتی اصفهان

محمد حسن روزیطلب

عضو هیئت علمی سازمان تحقیقات، آموزش و ترویج کشاورزی

(دریافت مقاله ۱۵/۲/۱۱ دریافت نسخه نهایی ۲۲/۷/۱۱)

چکیده: در بازسازی شرایط گذشته، کانی شناسی پارینه خاکها یکی از ابزارهای مفیدی است که شرایط محیطی گذشته را نشان می‌دهد. این کار پژوهشی برای شناسائی کانیهای رسی به روشهای مختلف و نحوه تشکیل این کانیها در دو پارینه خاک منطقه اصفهان و چهار محال و بختیاری انجام شده است. پس از مطالعات صحرائی و نمونه برداری از افق‌های مختلف هر دو خاک، و انجام آنالیزهای فیزیکوشیمیائی، تعدادی از افق‌ها برای انجام آنالیزهای کانی شناسی انتخاب شدند. نمونه‌هایی از مواد مادری و نمونه‌های خاک پس از آماده‌سازی و پیش‌تیمارهای لازم با پراش پرتو ایکس، میکروسکوپ الکترونی روبشی و پرتو فروسرخ مورد مطالعه واقع شدند. نتایج نشان می‌دهد که افق سطحی خاک منطقه سپاهان شهر، دارای ترکیبی مشابه با مواد مادری است و اثری از بالی گورسکیت در آن دیده نمی‌شود، در حالیکه بخش قابل توجهی از کانیها در افقهای قدیمی این خاک را بالی گورسکیت تشکیل می‌دهد. عدم وجود این کانی در مواد مادری، فرم کشیده آن و همراه بودن آن با کربنات، کلسیم، و گچ ثانویه، نشان‌دهنده منشا خاکزایی این کانی است. در نیمرخ امام قیس نیز در افق‌های سطحی ترکیب کانیها به مواد مادری نزدیک است، ولی به علت بارندگی نسبتاً زیاد، در حال حاضر کلریت به ورمیکولیت و باشدت کمتری به اسمکتیت تبدیل شده است.

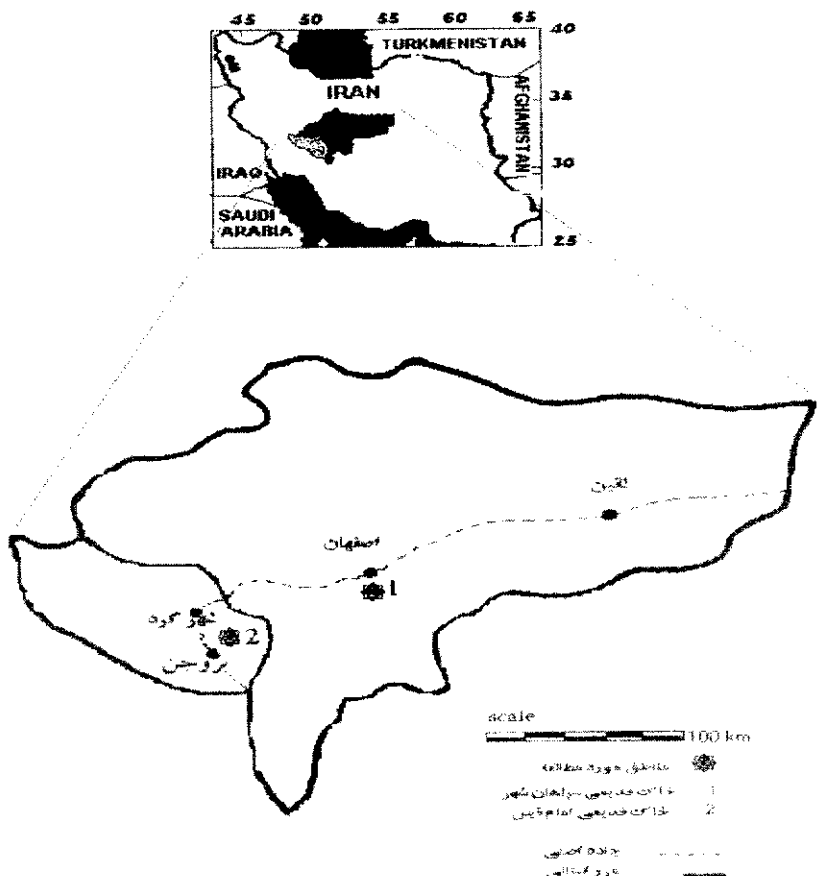
**واژه‌های کلیدی:** کانیهای رسی، پارینه خاک، پراش پرتو ایکس، پرتو فروسرخ،

## مقدمه

مطالعه شرایط اقلیم‌شناسی گذشته بر اساس شواهد مختلف نظری پارینه خاکها (paleosol) نقش مهمی در برآورد نوسانهای آن در آینده و تصمیم گیریهای کشاورزی و زیست محیطی دارد. پارینه خاکها شامل خاکهایی است که در شرایط متفاوت از شرایط فعلی تشکیل شده، در رسویهای جدیدتری مدفون شده‌اند، و یا در برابر تغییرات سطحی و شرایط خارجی ایستادگی کرده‌اند [۱]. خاک‌های مدفون شده بر حسب این که چه مدت تحت تاثیر چه نوع اکوسيستمی قرار گرفته‌اند، دارای درجات تکامل متفاوتی هستند.

در راستای بازسازی شرایط گذشته یکی از ابزارهای مفید در مطالعه پارینه خاکها کانی‌شناسی این خاکها است، زیرا وجود کانی مشخصی در خاک بازگوکننده شرایط محیطی گذشته منطقه است. هر کانی در شرایط شیمیایی خاص پایدار است و با توجه به حضور کانی می‌توان شرایط تشکیل آن را بازسازی کرد. پژوهشگران مختلفی با استفاده از کانی‌شناسی پارینه خاکها، شرایط گذشته را بازسازی کرده‌اند. هوگان و بیتی [۲] ضمن مطالعه پارینه خاکها مدفون در لس‌ها، با مطالعات پراش پرتو ایکس نشان دادند که افق‌های مدفون شده دارای کانیهای هوازده بیشتری نظری مونت موریلوبنیت، ورمیکولايت و کائولینیت نسبت به لس بالانی هستند. میشل [۳] در بررسی کانی‌شناسی افق‌های مدفون شده قدیمی به این نتیجه رسید که افق آرجیلیک قدیمی (Bt) نسبت به افق آرجیلیک جوانتر (Bt) کائولینیت بیشتر و اسمکتیت کمتری دارد، که این موضوع نشان‌دهنده این است که پارینه خاکها تحت تاثیر شرایط مرطوبتر و هوازدگی بیشتری قرار داشته‌اند. ترمکلدلی و همکاران [۴] در پارینه خاکها ایندیانای آمریکا که در لس دفن شده‌اند، نشان دادند که در افق Bt مدفون شده نسبت به لایه لس، مقدار کائولینیت افزایش و مقدار اسمکتیت کاهش یافته است. سان جوری جو و همکاران [۵] در خاکرهای چند گانه اسپانیا، پارینه خاکها مدفون شده‌ای را مورد مطالعه قرار دادند که دارای کانیهای حد واسطه اسمکتیت-کائولینیت و مقدار ناچیز گیبسیت بوده و در خاکهای جوانتری مدفون شده‌اند، و دارای مقدار گیبسیت و اکسی هیدروکسیدهای آهن نظری اما گهه‌هایی هستند. آنها ضمن مطالعه این روند، نشان دادند که خاکهای قدیمی تر

در شرایط خشکتری نسبت به خاکهای جوان، تکامل یافته‌اند. وانگ و همکاران [۶] با مطالعه پارینه خاکها تایوان نشان دادند که ناهمگونی ترکیب کانیها در نیمرخ پارینه خاک پنگو نشان‌دهنده شرایط خاکزایی چندگانه این خاک است. خادمی و مرموت [۷] در پارینه خاکهای منطقه اصفهان نشان دادند که پالی گورسکیت در شرایط قدیمی که فلات مرکزی ایران دارای لاغون‌هایی بوده است، تشکیل شده است. هدف از این مطالعه شناسایی کانیهای رسی دو پارینه خاک در منطقه سپاهان شهر اصفهان و امام قیس چهار محل و بختیاری جهت تفسیر شرایط خاکسازی و تشکیل کانیهای مختلف و بازسازی شرایط خاکسازی گذشته این دو منطقه است.



شکل ۱ موقعیت جغرافیائی خاکهای مورد مطالعه.

## مواد مورد استفاده و روش‌های کاری

پارینه خاکهای مورد مطالعه در دو منطقه اقلیمی متفاوت، شامل اصفهان و امام‌قیس چهارمحال و بختیاری روی لندفرمهای مختلف قرار گرفته‌اند. پارینه‌خاک مورد مطالعه در اصفهان در دامنه‌های جنوبی رشته کوه صفه اصفهان در ناحیه سپاهان شهر، با طول جغرافیایی  $39^{\circ}40'$  شرقی و عرض جغرافیائی  $32^{\circ}34'5$  شمالی روی نهشت‌های مخروط افکنه قدیمی قرار گرفته و از نوع دفن نشده است و پارینه خاک مدفون شده منطقه امام‌قیس در نهشت‌های دشت قدیمی بریده شده با طول جغرافیائی  $18^{\circ}32'51''$  شرقی و عرض جغرافیائی  $45^{\circ}10'31''$  شمالی در ۳۵ کیلومتری جنوب غربی شهرستان بروجن قرار گرفته است (شکل ۱).

مواد مادری نهشت‌های مخروط افکنه سپاهان شهر شامل آهک‌های اوربیتولین دار کرتاسه و شیلهای ژوراسیک بوده و دشت قدیمی منطقه امام‌قیس از سازندهای دوره کرتاسه پائینی منشاء گرفته است. منطقه امام‌قیس چهارمحال و بختیاری در حال حاضر دارای میانگین بارندگی سالانه ۵۷۶ میلیمتر و میانگین دمای سالانه  $10^{\circ}\text{C}$  است و منطقه اصفهان دارای میانگین بارندگی سالانه ۹۵ میلیمتر و میانگین دمای سالانه  $15^{\circ}\text{C}$  است. در مطالعات صحرائی مقاطع مورد مطالعه بر اساس راهنمای تشریح نیمرخ USDA-NRCS [۸] تشریح شده و نمونه برداری از لایه‌های مختلف صورت گرفت. آنالیزهای فیزیکوشیمیائی انجام شده روی نمونه‌های خاک شامل تعیین بافت خاک به روش پیپت [۹]، PH گل اشباع، رسانندگی الکتریکی در عصارة اشباع، ظرفیت تبادل کاتیونی کل خاک به روش استات سدیم تنظیم شده در PH ۸/۲ [۱۰]، درصد آهک به روش تیتراسیون برگشتی، درصد گچ به روش حل کامل گچ [۱۱] و مقدار کربن آلی به روش سوزاندن تر [۱۲] است.

از نیمرخهای مورد مطالعه بر اساس انقطاع سنگی و مشاهدات صحرائی دیگر و نتایج آزمایشگاهی، افق‌هایی به عنوان افق‌های شاهد برای انجام آنالیزهای پراش پرتو ایکس انتخاب شدند. پیش تیمارهای لازم جهت جداسازی اجزا شامل حذف آهک، مواد آلی و اکسیدهای آهن صورت گرفت [۱۳] و رس نمونه‌ها با یک مرکزگریز از وسوب جدا شد. مواد مادری سازندهای غالب در دو منطقه پس از خرد کردن با الک

۳۰۰ مش عبور داده شدند و پس از پیش تیمارهای لازم و تفکیک رس، با پرتو ایکس مورد مطالعه قرار گرفتند. نمونه‌های رس پس از اشباع با کلرور منیزیوم و کلرور پتاسیم یک نرمال، برای رسیدن به جهت‌گیری سیلیکات‌های لایه‌ای، روی صفحات سرامیکی متخلخل بوسیله دستگاه مکش، رسوب داده شد و سپس با پراش سنج پرتوایکس فیلیپس (pw-1830) و با لامپ مس مورد شناسایی قرار گرفتند. نمونه‌های رس حداقل تا ۲۰ برابر با ۴۰ درجه با جریان ۴۰ میلی آمپر و ولتاژ ۴۰ کیلوولت و با سرعت ۲ درجه در دققه در معرض پرتو ایکس قرار گرفتند. پس از تیمار نمونه منیزیم دار با بخار اتیلن گلیکول در دمای  $70^{\circ}\text{C}$  به مدت ۲۴ ساعت، دوباره آنالیز شدند. نمونه‌های اشباع شده با پتاسیم پس از قرار دادن در بخار دی متیل سولفوکساید (DMSO) به مدت ۲۴ ساعت در دمای  $80-75^{\circ}\text{C}$  درجه سانتی گراد آنالیز شدند. در نهایت نمونه‌ها در دماهای  $330^{\circ}\text{C}$  و  $500^{\circ}\text{C}$  و هر بار پس از ۲ ساعت تیمار، در معرض تابش پرتو ایکس قرار داده شدند. مقادیر نسبی کانیهای مختلف بر اساس تعديل شدت قله‌ها، و با استفاده از برنامه کامپیوتربی چند تصویری<sup>۱</sup> برآورد شدند. نمونه‌های رس جهت شناسائی به وسیله پرتو فروسخ با تهیه قرص به همراه برماید پتاسیم آماده شدند و با طیف‌سنج مدل پرکین ایمر در دامنه اعداد موجی ۲۵۰ تا ۴۰۰۰ بر سانتی‌متر مورد شناسائی قرار گرفتند. تعدادی از نمونه‌ای رس و مواد مادری پس از قرار گرفتن روی پایه‌های آلومینیمی در پوششی از طلا با استفاده از میکروسکوپ الکترونی روبشی مدل فیلیپس (XL30ESEM) مورد مطالعه قرار گرفتند.

برخی از خصوصیات فیزیکی و شیمیائی خاکهای مورد مطالعه در جدولهای ۱ و ۲ ارائه شده‌اند. چنانکه از ریخت‌شناختی خاکها نتیجه می‌شود، پارینه خاک سپاهان شهر شامل افق‌های چندگانه و غنی از آهک، گچ، و پوشش‌های رسی است که با لایه‌ای نسبتاً نازک (۱۵ سانتی‌متر) پوشیده شده است. پارینه خاک امام قیس شامل افق‌های توسعه یافته قدیمی (آرجیلیک دفن شده) است که در افق‌های آرجیلیک و کلسیک جوانتری دفن شده‌اند.

جدول ۱ برخی خصوصیات فیزیکی و شیمیائی خاک منطقه سپاهان شهر

| Ec<br>dS<br>/m | O<br>C<br>%<br>** | pH  | CE<br>C<br>Cm<br>oh/kg | گج<br>%  | آهک<br>% | شن<br>% | سیلت<br>% | رس<br>% | بافت<br>x | رنگ<br>مرطوب | عمق<br>سانته<br>(یمتر) | افق        |
|----------------|-------------------|-----|------------------------|----------|----------|---------|-----------|---------|-----------|--------------|------------------------|------------|
| ۴/۷            | ۱۵                | ۷/۵ | ۲۴<br>۱۰               | ۱۱۰      | ۴۷/۰     | ۶۰/۲    | ۲۸۳       | ۱۱۰     | SL        | ۱-YR ۵/۴     | -۱۵                    | A          |
| ۴/۹            | ۱۵                | ۷/۸ | ۱۹<br>۱۲               | ۱۸       | ۵۲/۰     | ۵۲/۵    | ۱۵/۴      | ۲۲/۱    | SCL       | ۷/۵ YR ۶/۴   | -۶۰<br>۱۵              | 2B<br>k1   |
| ۴/۴            | ۱۵                | ۸/۳ | ۱۰<br>۱۵               | ۲۱۳      | ۶۳/۰     | ۴۰/۹    | ۸/۵       | ۵-۱۶    | C         | ۷/۵ YR ۵/۴   | -۸۰<br>۶۰              | 2B<br>k2   |
| ۴/۲            | ۱۴<br>+           | ۷/۸ | ۱۷<br>۱۵               | ۱۰<br>۲۲ | ۲۵/۰     | ۴۷/۷    | ۴/۱       | ۴۸/۲    | SC        | ۱-YR ۵/۴     | -۱۱۵<br>۸۰             | 2Bt<br>ky1 |
| ۴/۱            | -۰/۲              | ۸/۲ | ۱۳<br>۱۸               | ۱۰<br>۱۶ | ۲۵/۰     | ۴۸/۳    | ۱/۵       | ۵-۱۲    | SC        | ۷/۵ YR ۶/۴   | -۱۴۵<br>۱۱۵            | 2Bt<br>ky2 |
| ۴              | -۰/۳              | ۸/۴ | ۱۷<br>۱۵               | ۱۰<br>۲۷ | ۲۲/۰     | ۵-۱۲    | ۸/۵       | ۴۱/۳    | SC        | ۷/۵ YR ۵/۴   | -۱۷۵<br>۱۴۵            | 2Bt<br>ky3 |
| ۴/۹            | -۰/۳              | ۸/۱ | ۱۶<br>۱۲               | ۱۰<br>۶۲ | ۱۸/۰     | ۴۲/۸    | ۵/۴       | ۵-۱۸    | C         | ۷/۵ YR ۴/۴   | -۲۱۰<br>۱۷۵            | 2Bt<br>ky4 |
| ۴/۷            | -۰/۲              | ۸/۲ | ۱۷<br>۲۳               | ۱۰<br>۲۱ | ۲۲/۰     | ۲۶/۵    | ۱۹/۷      | ۵۳/۸    | C         | ۱-YR ۵/۴     | -۲۵۰<br>۲۱۰            | 3Bt<br>ky5 |
| ۵/۲            | -۰/۲              | ۸/۱ | ۱۰<br>۲۰               | ۱۰<br>۵۰ | ۱۵/۰     | ۶۵/۲    | ۷/۹       | ۲۶/۹    | SCL       | ۱-YR ۳/۶     | -۲۸۵<br>۲۵۰            | 4Bt<br>ky6 |
| ۵/۲            | -۰/۲              | ۸/۱ | ۱۰<br>۱۹               | ۱۰<br>۳۳ | ۲۱/۰     | ۶۲/۰    | ۸/۰       | ۲۹/۰    | SCL       | ۱-YR ۵/۴     | -۳۰۵<br>۲۸۵            | 4Bt<br>ky7 |
| ۴/۹            | -۰/۱              | ۸/۱ | ۱۵<br>۱۶               | ۱۰<br>۷۸ | ۱۶/۰     | ۷-۰/۷   | ۷/۲       | ۲۲/۰    | SCL       | ۱-YR ۳/۵     | -۳۴۵<br>۳۰۵            | 4B<br>y    |
| ۴/۵            | -۰/۱              | ۷/۸ | ۱۶<br>۱۵               | ۱۰<br>۱۹ | ۲۴/۰     | ۵۴/۲    | ۱۷/۷      | ۲۸/۰    | SCL       | ۷/۵ YR ۴/۲   | -۳۶۵<br>۳۴۵            | 4Bt<br>ky  |
| ۴/۷            | -۰/۱              | ۸/۱ | ۱۰<br>۱۳               | ۱۰<br>۱۳ | ۴۵/۰     | ۲۲/۱    | ۳۰/۸      | ۲۸/۰    | CL        | ۷/۵ YR ۴/۱   | -۳۸۵<br>۳۶۵            | 4Bt<br>k   |

\* علام بافت خاک عبارتند از: SL، لومی شنی SCL، لومی رسی شنی C، رسی شنی SC، رسی شنی

CL، لومی رسی SiL، لومی سیلتی L، لومی رسی Si، سیلتی SiC، رسی سیلتی کربن آبی

\*\*کربن آبی

### کانی شناسی مواد مادری

قله‌های به دست آمده از پراش پرتو ایکس از رس نمونه‌های سنگ آهک و شیل منطقه اصفهان (شکل ۲-الف و ب) حاکی از وجود ایلیت، کائولینیت، کلریت و کوارتز است. حضور کانیهای میکا، کلریت و کائولینیت در سازندهای بالا توسط پژوهشگران دیگر [۷ و ۱۴] نیز گزارش شده است. چنانکه نتایج پراش پرتو ایکس نشان می‌دهد در نمونه‌های مواد مادری اصفهان اثری از پالی گورسکیت دیده نمی‌شود. این پدیده با

جدول ۲ برخی خصوصیات فیزیکی و شیمیائی خاک منطقه امام قیس

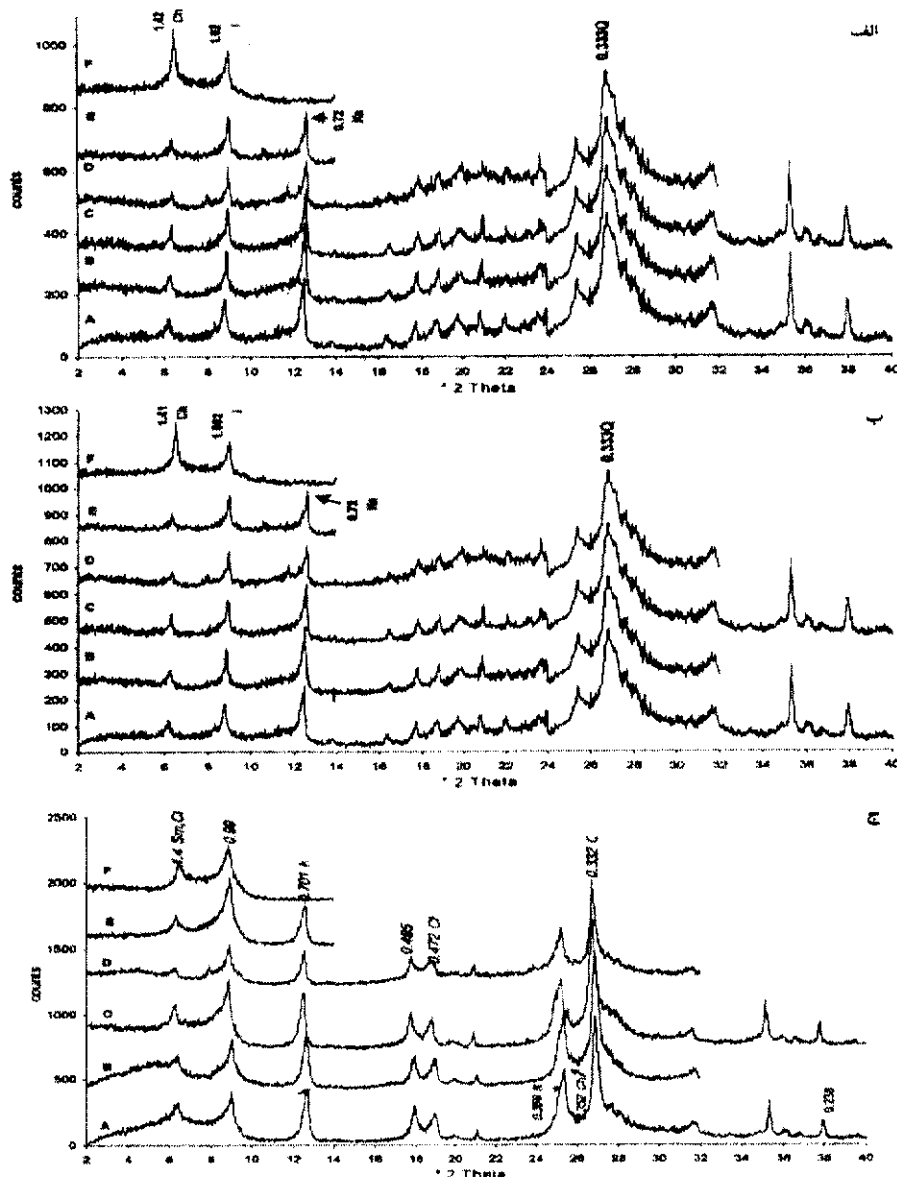
| افق    | عمق (سانتی متر) | مرطوب رنگ | بافت | رس%  | سیلت% | شن%  | آهک% | pH  | CEC Cmo l/kg | ج% | O. C % ** | Ec dS /m |
|--------|-----------------|-----------|------|------|-------|------|------|-----|--------------|----|-----------|----------|
| A      | ۰-۱۵            | YR ۴/۳    | SL   | ۲۴.۴ | ۶۱.۳  | ۱۴.۳ | ۲۷.۱ | ۷.۷ | ۴۰.۷         | -  | ۱.۹       | -۰.۸     |
| Btk1   | ۱۵-۲۵           | YR ۴/۴    | L    | ۲۱.۱ | ۴۰.۳  | ۲۷.۱ | ۲۷.۱ | ۷.۶ | ۴۰.۷         | -  | ۱.۴       | -۰.۹     |
| Btk2   | ۲۵-۴۵           | YR ۴/۴    | Si   | ۴۵.۰ | ۴۹.۱  | ۲۷.۱ | ۲۷.۱ | ۷.۹ | ۴۰.۷         | -  | ۱.۰       | -۰.۹     |
| Btk3   | ۴۵-۷۵           | YR ۴/۴    | SiC  | ۴۹.۹ | ۴۹.۱  | ۲۷.۱ | ۲۷.۱ | ۷.۰ | ۴۰.۷         | -  | ۱.۰       | -۰.۹     |
| 2Btkb  | ۷۵-۱۰۵          | YR ۴/۴    | SiC  | ۴۹.۰ | ۴۹.۰  | ۱۱.۰ | ۵۵.۰ | ۷.۰ | ۴۰.۷         | -  | ۱.۰       | -۰.۸     |
| 2Btk1b | ۱۰۵-۱۳۵         | YR ۴/۴    | CL   | ۲۹.۲ | ۲۶.۵  | ۲۶.۵ | ۷۸.۱ | ۷.۷ | ۴۰.۷         | -  | ۱.۰       | -۰.۸     |
| 2Btk2b | ۱۳۵-۱۷۵         | YR ۴/۴    | L    | ۲۹.۰ | ۴۶.۰  | ۴۶.۰ | ۳۷.۰ | ۷.۸ | ۴۰.۷         | -  | ۰.۹       | -۰.۷     |
| 3Btk1b | ۱۷۵-۲۲۵         | YR ۴/۴    | CL   | ۲۹.۰ | ۴۶.۰  | ۴۶.۰ | ۳۷.۰ | ۷.۸ | ۴۰.۷         | -  | ۰.۹       | -۰.۷     |
| 3Btk2b | ۲۲۵-۲۷۵         | YR ۴/۴    | L    | ۲۹.۰ | ۴۶.۰  | ۴۶.۰ | ۳۷.۰ | ۷.۸ | ۴۰.۷         | -  | ۰.۹       | -۰.۷     |
| 3Btk3b | ۲۷۵-۳۲۵         | YR ۴/۴    | CL   | ۲۹.۰ | ۴۶.۰  | ۴۶.۰ | ۳۷.۰ | ۷.۸ | ۴۰.۷         | -  | ۰.۹       | -۰.۷     |
| 3Btk4b | ۳۲۵-۳۷۵         | YR ۴/۴    | SiC  | ۴۶.۰ | ۴۶.۰  | ۳۷.۰ | ۳۷.۰ | ۷.۸ | ۴۰.۷         | -  | ۰.۹       | -۰.۷     |
| 4Btk1b | ۳۷۵-۴۲۵         | YR ۴/۴    | CL   | ۲۹.۰ | ۴۶.۰  | ۴۶.۰ | ۳۷.۰ | ۷.۸ | ۴۰.۷         | -  | ۰.۹       | -۰.۷     |
| 4Btk2b | ۴۲۵-۴۷۵         | YR ۴/۴    | SiC  | ۴۶.۰ | ۴۶.۰  | ۳۷.۰ | ۳۷.۰ | ۷.۸ | ۴۰.۷         | -  | ۰.۹       | -۰.۷     |
| 4Btk3b | ۴۷۵-۵۲۵         | YR ۴/۴    | C    | ۴۶.۰ | ۴۶.۰  | ۳۷.۰ | ۳۷.۰ | ۷.۸ | ۴۰.۷         | -  | ۰.۹       | -۰.۷     |
| 4Btk4b | ۵۲۵-۵۷۵         | YR ۴/۴    | C    | ۴۶.۰ | ۴۶.۰  | ۳۷.۰ | ۳۷.۰ | ۷.۸ | ۴۰.۷         | -  | ۰.۹       | -۰.۷     |

\* علاوه بر بافت خاک عبارتند از: SL، لومی شنی SCL، نومی رسی شنی SC، رسی شنی SC.

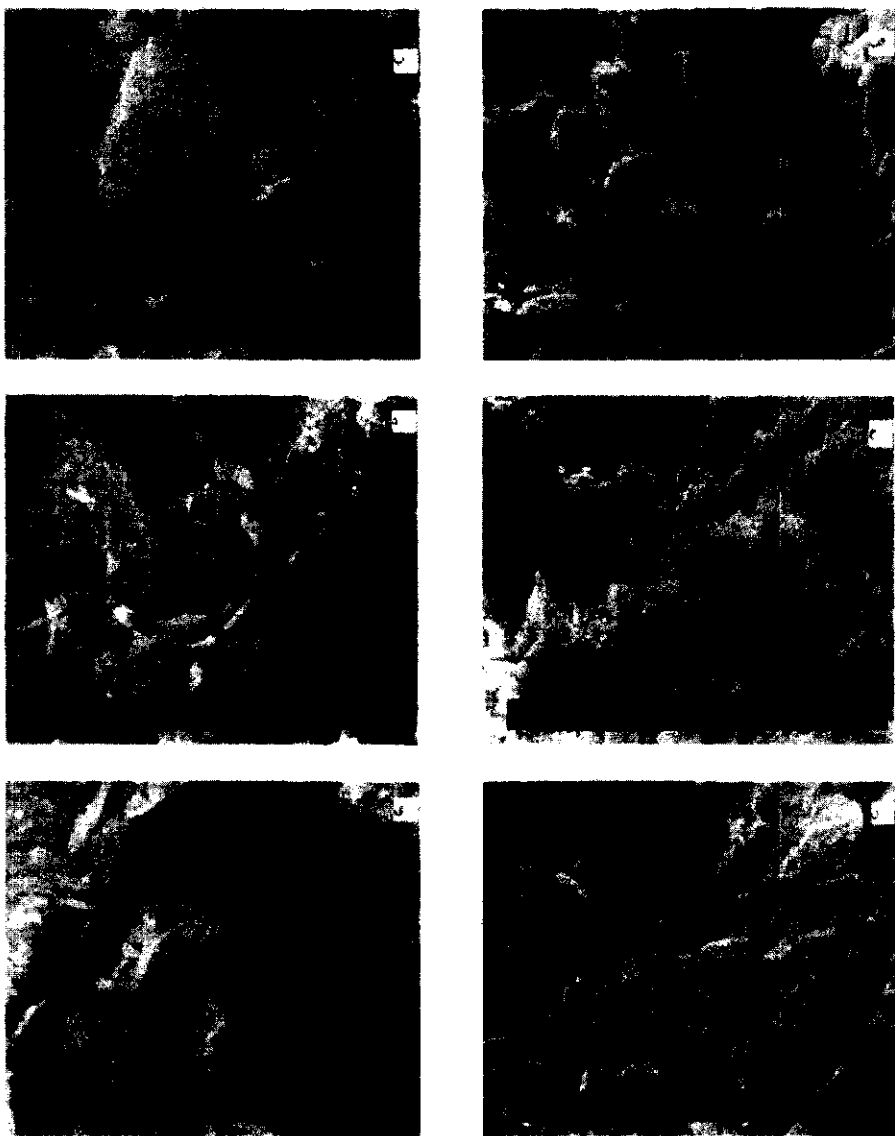
CL، نومی رسی SiL، نومی سینی L، لومی سینی Si، سینی SiC، رسی سینی SiC.

\*\*کربن الی

مشاهدات میکروسکوپ الکترونی رویشی از مواد مادری (شکل ۳-الف) نیز تأیید می‌شود که عمدۀ کانی تشکیل دهنده این مواد از آهک (حدود ۹۷ درصد) است. نتایج پراش پرتو ایکس از بخش رس آهک‌های کرتاسه پائینی منطقه امام قیس نشان دهنده حضور کانیهای میکا، کلریت، اسمکتیت، کائولینیت و کوارتز است (شکل ۲-ج). حضور کانیهای بالا در سازند مزبور را پژوهشگران دیگر از ایران [۷]، اردن [۱۵]، مصر [۱۶] و عربستان [۱۷] نیز گزارش کرده‌اند.



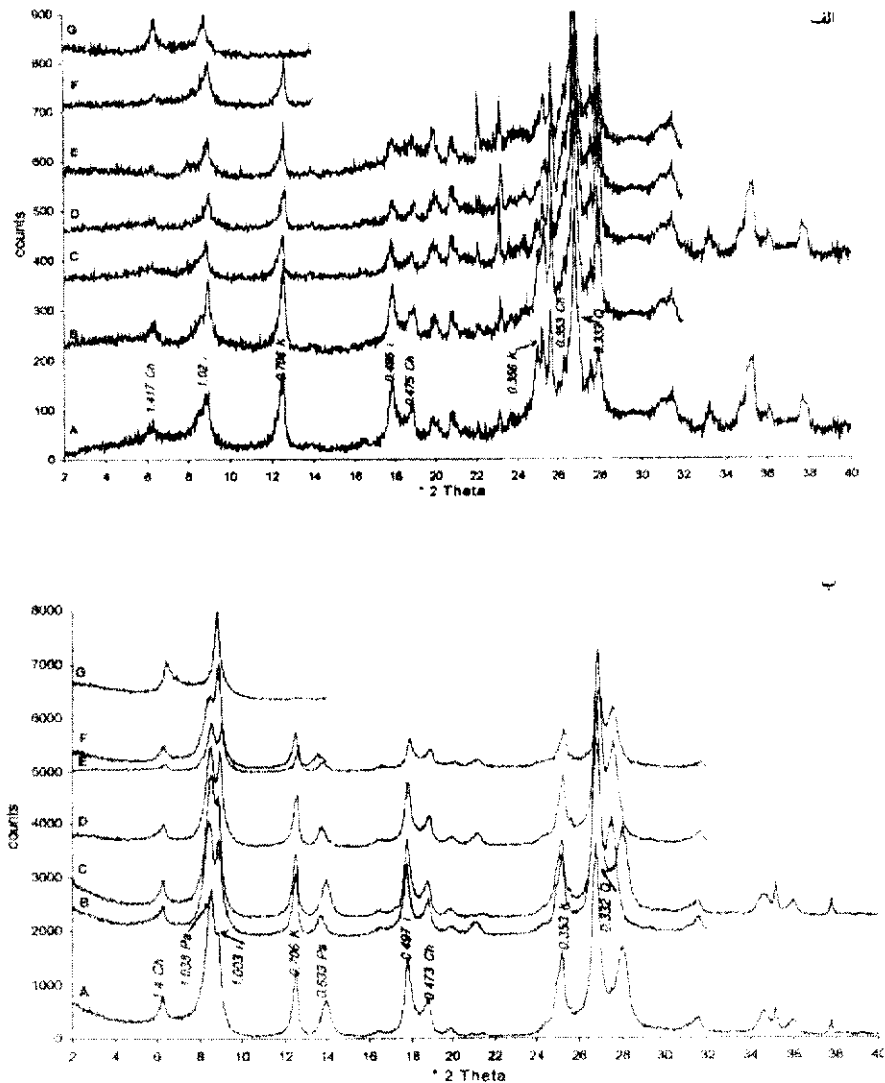
شکل ۲ پراش نگاشت پرتو اکیس در بخش رس سنگ اهک اوریتال دار کرتاسه منطقه سپاهان شهر (الف)، شیل های ژوراسیک منطقه سپاهان شهر (ب) و آهک کرتاسه منطقه امام قیس (ج) اعداد قله ها بر حسب ناتومتر است. A نمونه اشباع با منزیم، B نمونه اشباع شده با منزیم و اتیلن گلیکول، C نمونه اشباع با پتاسیم، D نمونه اشباع شده با DMSO ، E نمونه اشباع با پتاسیم و دمای  $55^{\circ}\text{C}$  ، F نمونه اشباع با پتاسیم و دمای  $300^{\circ}\text{C}$  (کوارتز)، K کانولینیت، I ایلیت، Ch کلریت، Sm اسمگکیت.

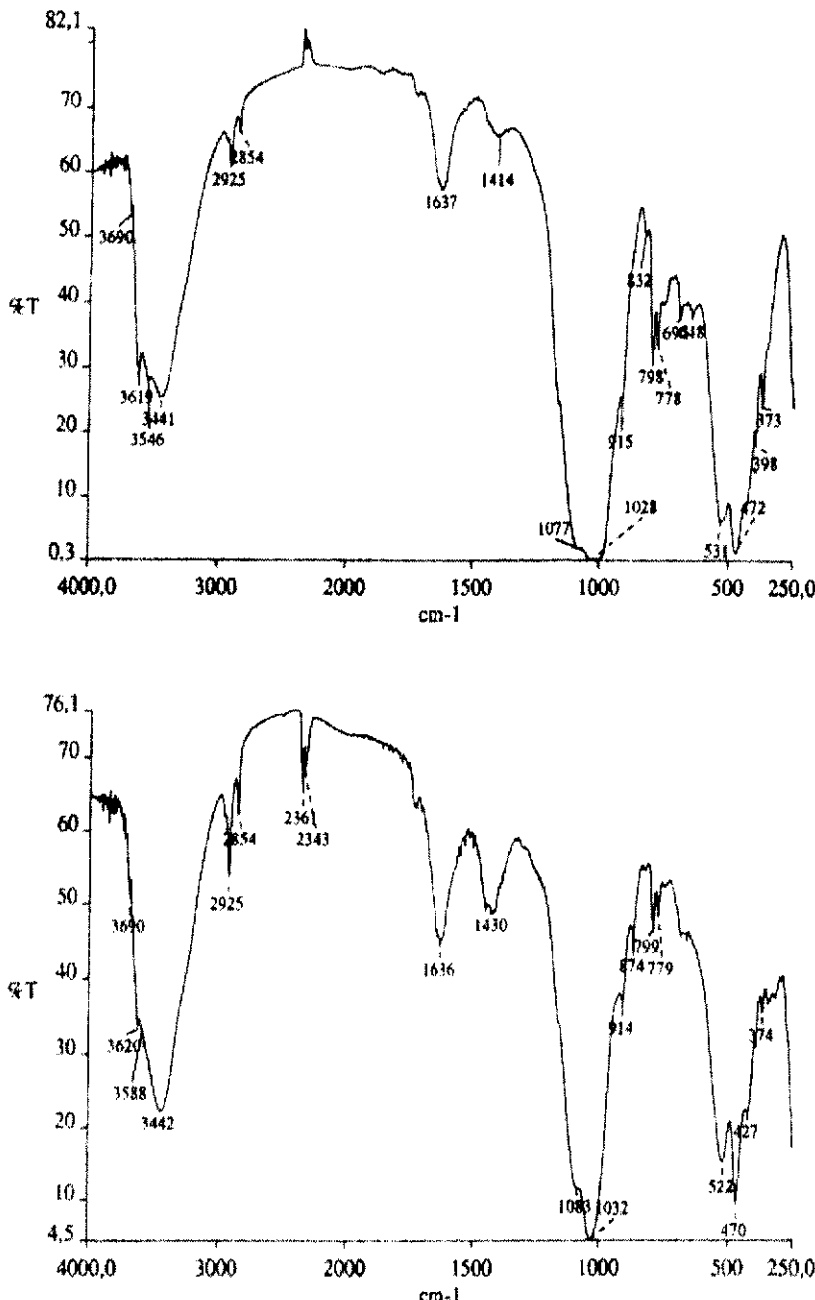


شکل ۲ میکروگراف های میکروسکوپ الکترونی روبشی (الف) بلورهای کربنات در مواد مادری نیمرخ سپاهان شهر و عدم وجود الیاف پالیگورسکیت، (ب) بلورهای آهک ثانویه و الیاف پالیگورسکیت در افق های تحتانی نیمرخ سپاهان شهر، (ج) بلورهای ثانویه در افق های تحتانی نیمرخ سپاهان شهر، (د ، ن ، ی) الیاف کشیده پالیگورسکیت در افق های زیرین نیمرخ سپاهان شهر

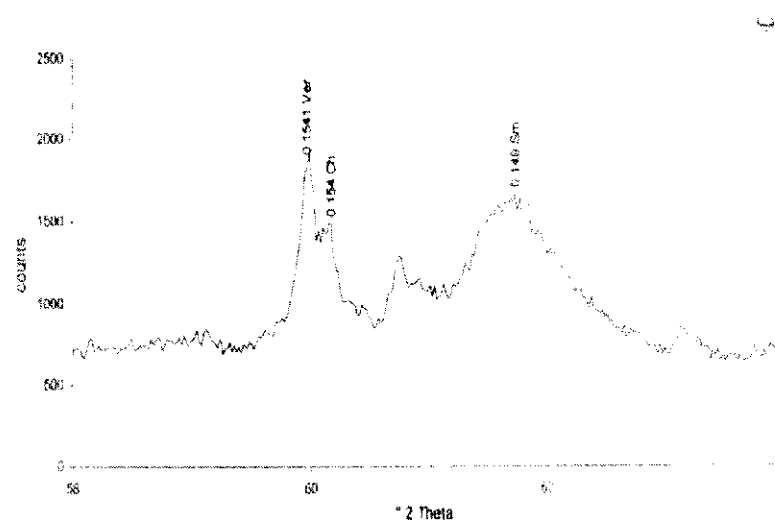
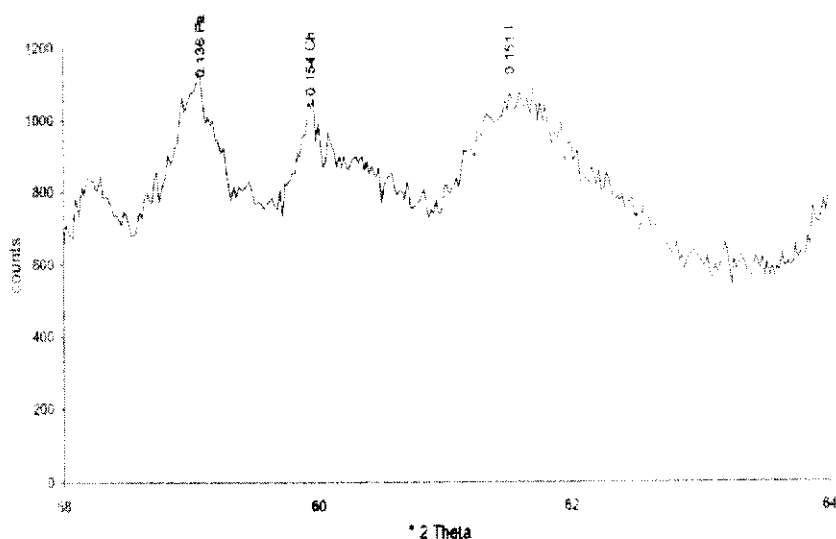
## کانی شناسی پارینه خاک سپاهان شهر

پراش نگاشتهای به دست آمده از نمونه‌های خاک سپاهان شهر نشان می‌دهد که در افق سطحی (شکل ۴-الف) کانیهای کلریت، ایلیت، کانولینیت و کوارتز دیده می‌شود و اثری از پالی گورسکیت نیست. لذا ترکیب کانیهای افق سطحی با مواد مادری همخوانی زیادی دارد. با توجه به بالاتر بودن شدت قله‌های زوج ( $0/7$  و  $0/356$  نانومتر) نسبت به فرد ( $1/4$  و  $0/47$  نانومتر) در پراشهای پرتوایکس این نیمرخ کلریت‌های این منطقه غنی از آهن هستند [۳ و ۱۸] (شکل ۴-الف و ب). شناسائی رس کلریت با استفاده از آنالیزهای پرتوفروسرخ بسیار مشکل به نظر می‌رسد [۹، ۲۰، ۲۱ و ۲۲]. در نمونه‌های مورد مطالعه مقادیر کمی کانولینیت وجود دارد که حضور همزمان، کلریت شناسائی آن را دچار مشکل می‌کند. هر چند تیمارهای DMSO (شکل ۴-الف و ب) تا حدودی کانولینیت‌هایی با تبلور خوب را تفکیک کرده است ولی حضور مقادیر زیاد پالی گورسکیت در این نمونه‌ها صحت این تیمار را نیز تحت تاثیر قرار می‌دهد. تیمار DMSO توسط محققین مختلف [۲۲ و ۲۳] برای تفکیک کانولینیت از کلریت و همچنین تفکیک کانولینیت‌هایی با تبلور خوب و ضعیف از همدیگر مورد استفاده قرار گرفته است. این تیمار باعث افزایش فاصله صفحات کریستالی کانولینیت‌هایی با تبلور خوب از  $0/7$  نانومتر به  $1/126$  نانومتر می‌گردد و کانولینیت‌هایی با تبلور ضعیف در همان  $0/7$  نانومتر باقی می‌مانند. در این خاک و شناسائی را با مشکل مواجه کرده است. حضور قله  $0/238$  نانومتر در پراش نگاشتهای پرتوایکس و همچنین بروز جذب پرتوفروسرخ در اعداد موجی  $3690$  و  $3546$  بر سانتی‌متر (شکل ۵-الف) حضور کانولینیت را تائید می‌کند. با نتایج آنالیز حضور قله گسترده پالیگورسکیت در نزدیکی قله افزایش یافته کانولینیت این تفکیک پودری نمونه‌های رسی این نیمرخ در فاصله  $2\theta = 56$  تا  $64$  در  $2\theta = 59/94$  (فاصله صفحات کریستالی  $= 0/154$ ) نشان‌دهنده کلریت از نوع تری‌اکتاہدرال است (شکل ۶-الف). در افق‌های تحتانی، علاوه بر کانیهای مزبور مقادیر قابل توجهی از بخش رس را پالی گورسکیت تشکیل می‌دهد. اشکال لوله‌ای و فیبری به دست آمده از میکروسکوپ الکترونی نیز





شکل ۵ طیف‌های پرتو فرو سرخ، (الف) افق  $B_{tk2}$  نیمرخ سپاهان شهر، (ب) افق  $B_{tk2b}$  نیمرخ امام قیس.



شکل ۶ پراش نگاشت‌های پرتو ایکس رده ۰۶۰ در بخش رسان افق  $2B_{sky2}$  (الف) نیمرخ سپاهان شهر و افق سطحی (A) نیمرخ امام قیس (ب)، (اعداد قله‌ها بر حسب نانومتر می‌باشد)، I آبیت، Ch کلریت، Sm اسمکتیت، Ver ورمیکولیت، Pa پالیگورسکیت).

وجود مقادیر قابل ملاحظه‌ای از پالی‌گورسکیت را در نمونه‌های خاک تائید می‌کند (شکل ۳-د تا ۵). نتایج آنالیزهای پرتو فروسرخ (شکل ۵-الف) نیز در اعداد موجی ۳۶۱۹، ۳۵۴۶ و ۱۶۳۷ بر سانتی‌متر (شکل ۵-الف) نشان‌دهنده حضور پالی‌گورسکیت می‌باشد. همچنین اعداد موجی ۳۴۴۱، ۱۴۱۴، ۱۰۷۷ و ۹۱۵ بر سانتی‌متر می‌دهد. اسکال لوله‌ای و فیبری بدست آمده از میکروسکوپ (شکل ۵-الف) نشان‌دهنده حضور ایات و اعداد موجی ۷۹۸ و ۷۷۸، نشان‌دهنده حضور کوارتز در نمونه‌هاست (شکل ۵-الف).

هر چند مطالعات دیگر [۷] نشان می‌دهد شرایط اقلیمی گذشته در دوره پلیوستینین مرطوبتر و سردتر بوده است، ولی رطوبت موثر و شرایط هوازدگی در حدی نبوده است که بر روند تکاملی کانیها تاثیری داشته باشد. لذا همانطور که پژوهشگران دیگر [۲۴] نیز تایید کرده‌اند کانی‌شناسی در خاکهای مناطق خشک و نیمه خشک بیشتر به وسیله مواد مادری کنترل می‌شود. بنابراین عمدۀ کانیهای موجود در این خاک شامل ایلیت، کلریت و کوارتز از مواد مادری به ارث رسیده‌اند و تغییرات فاحشی را با عمق نشان نمی‌دهند (جدول ۳). ولی پالی‌گورسکیت تفسیر جدگانه‌ای را می‌طلبد.

افق سطحی این پارینه خاک، شامل رسوبات جوانی است که افق‌های قدیمی را می‌پوشاند و ترکیبی مشابه با مواد مادری دارد و اثری از پالی‌گورسکیت در آن دیده می‌شود. عدم وجود کانی مزبور در نمونه‌های مواد مادری، مرفلوژی کشیده و بلند پالی‌گورسکیت در ریزنگاشت‌های الکترونی (شکل ۳-د تا ۵) و تجمع هم مکان پالی‌گورسکیت با کربنات کلسیم (شکل ۳-ب) و حضور مقادیر قابل توجهی گچ ثانویه (شکل ۳-ج)، نشان‌دهنده منشاء خاکساز پالی‌گورسکیت در افق‌های قدیمی این خاک است. ارتباط نزدیکی بین حضور کربنات‌های کلسیت و پالی‌گورسکیت وجود دارد که ناشی از شرایط مناسب برای پایداری این کانی است. چنان که پژوهشگران دیگر نیز تأکید کرده‌اند [۷]، فلات مرکزی ایران پس از جدا شدن از دریای تیس در اواخر ترشیاری، از لagonهایی مجزا پوشیده شده که به علت شرایط تبخیر و تشکیل گچ، نسبت بالای Mg/Ca و pH بالا [۲۵]، شرایط برای تشکیل پالی‌گورسکیت و سپیولیت فراهم بوده است. اقلیم خشک فعلی نیز شرایط را همچنان برای پایداری

جدول ۲ ترکیب نیمه کمی برآورد شده از بخش رس بر اساس شدت قله های تعدیل

شده حاصل از پرتو ایکس در پارینه خاک سپاهان شهر

| کوارتز | کاثولینیت | ایلیت | کلریت | پالی<br>گورسکیت | عمق(سانتر) | افق    |
|--------|-----------|-------|-------|-----------------|------------|--------|
| +++    | ++        | +++++ | +     | ND**            | ۰-۱۵       | A      |
| ++     | ++        | +++++ | +     | ++++            | ۶۰-۸۰      | 2Btk2  |
| +++    | ++        | +++++ | +     | ++++            | ۱۱۵-۱۴۵    | 2Btky2 |
| ++     | ++        | +++++ | +     | ++++            | ۱۷۵-۲۱۰    | 2Btky4 |
| +++    | ++        | +++++ | +     | ++++            | ۲۱۰-۲۵۰    | 3Btky5 |
| +++    | ++        | +++++ | +     | ++++            | ۲۸۵-۳۰۵    | 4Btky7 |
| +++    | ++        | +++++ | +     | ++++            | ۳۰۵-۳۴۵    | 4By    |
| +++    | ++        | +++++ | +     | ++++            | ۳۶۵-۳۸۵    | 4Btk   |

×Integrated Peak Intensity

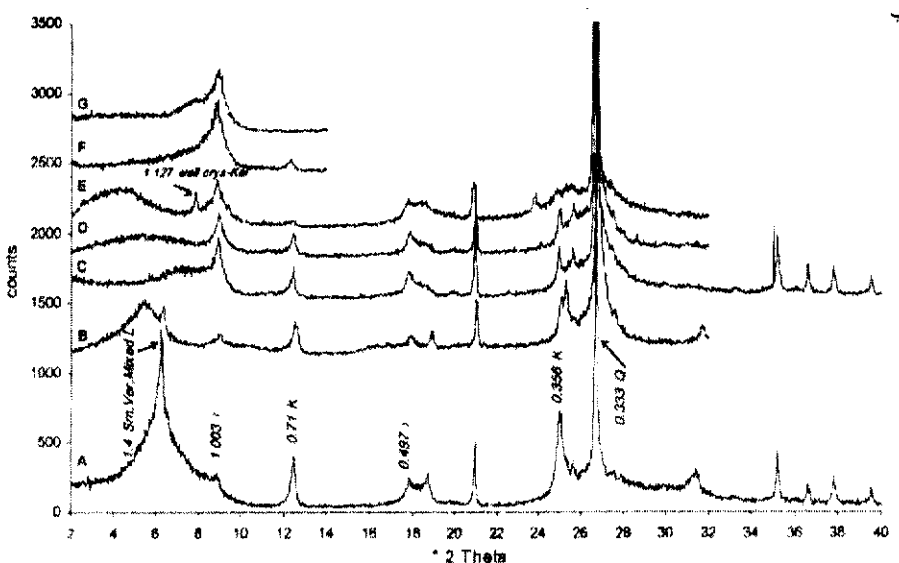
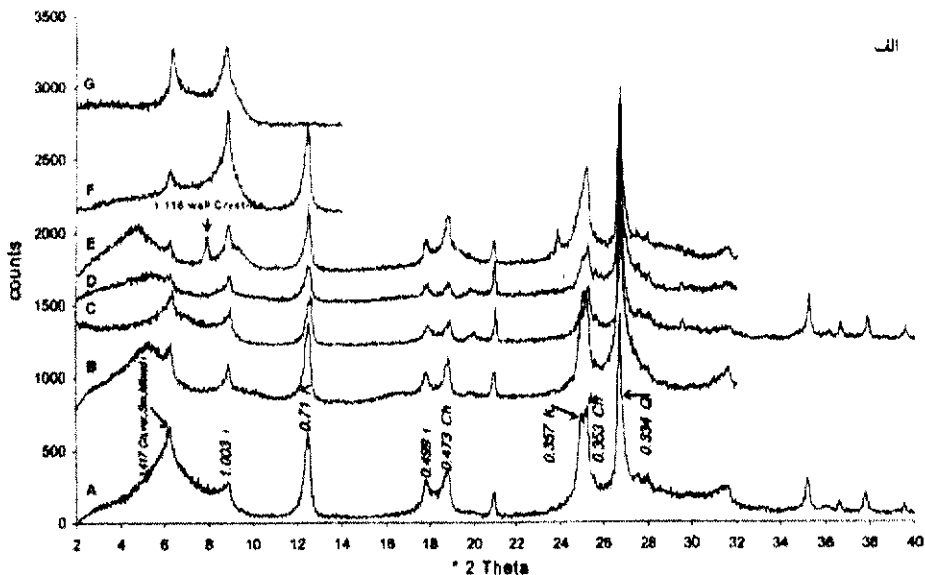
\*\* ND=Nهای نشده است

۰-۱۰+ درصد    +۰-۲۰+ درصد    ++۰-۳۰+ درصد    +++۰-۴۰+ درصد    +++۰-۶۰+ درصد

پالی گورسکیت فراهم کرده است.

کانی شناسی پارینه خاک امام قیس

پراش نگاشتهای بدست آمده از نمونه های پارینه خاک امام قیس تفاوت فاحشی را با پارینه خاک منطقه سپاهان شهر نشان می دهد. در افق سطحی این خاک علاوه بر کانیهای اسمکیت، ورمیکولیت، ایلیت، کاثولینیت، کلریت و کوارتز کانیهای مختلط میکا-اسمکیت دیده می شود (شکل ۷-الف). با افزایش عمق تغییرات عمدہ ای در درصد های نسبی کانیها اتفاق می افتد (جدول ۴). به عنوان نمونه درافق 4Bt3b در عمق ۵۲۵ سانتی متر کانی اسمکیت نسبت به ورمیکولیت بازتاب بیشتری نشان می دهد و اثری از کلریت دیده نمی شود (جدول ۴). نتایج آنالیزهای پرتو فروسرخ در این نیمرخ نیز حضور برخی کانیها را تائید می کند. به عنوان نمونه در افق 3Btk2b این نیمرخ اعداد موجی ۳۶۹۰ و ۳۶۲۰ حضور کاثولینیت، اعداد موجی ۳۴۴۲، ۱۶۳۶ و ۱۰۸۳ وجود ایلیت را تایید می کند (شکل ۵-ب). اعداد موجی قله های اخیر کاملاً با قله های



شکل ۲ پراش نگاشت‌های پرتو ایکس در بخش رس افق سطحی (A) و افق عمقی (4B<sub>3b</sub>) در نیمیرخ امام قیس، (اعداد قله‌ها بر حسب نانومتر است). A نمونه اشباع با منیزیم، B نمونه اشباع شده با منیزیم و اتیلن گلیکول، C نمونه اشباع با پتانسیم، D نمونه اشباع شده با پتانسیم و اتیلن گلیکول، E تیمار اشباع شده با DMSO، F نمونه اشباع با پتانسیم و دمای ۳۰۰°C، G نمونه اشباع با پتانسیم و دمای ۵۵°C (Q کوارتز، K کالیبیت، Sm کلریت و Ch اسماگتیت).

جدول ۴ ترکیب نیمه کمی برآورده شده از بخش رس بر اساس شدت قله های تعديل شده<sup>\*</sup> حاصل از پرتو ایکس در پارینه خاک امام قیس

| افق      | عمق (سانچتر) | اسمکتیت | ورمیکولیت | نیلت | کالوئیت | کلریت | کوارتز | کانیهای مختلط (میکارو اسمکتیت) | کانیهای مختلط | نسبت SM/I در 1-Sm |
|----------|--------------|---------|-----------|------|---------|-------|--------|--------------------------------|---------------|-------------------|
| A        | -۱۵          | +       | ++++      | +++  | +++     | ++    | +++    | +++                            | ++            | ND* *             |
| Bt k2    | ۴۵-۸۵        | +++     | ++++      | +++  | +++     | ++    | ND     | ++                             | ++            | ND                |
| 2B tk    | -۱۲۵<br>۱۰۵  | ++      | +++       | +++  | +++     | +++   | +++    | +++                            | +             | + /۴۳             |
| 2B k2 b  | -۱۲۵<br>۱۷۵  | +       | ++        | +++  | ND      | +++   | +++    | +++                            | +++           | + /۴۴             |
| 2B tk 2b | -۳۰۵<br>۲۶۵  | +       | ++        | ++   | ND      | +++   | +++    | +++                            | +++           | + /۴۳             |
| 3B tk 4b | -۴۲۵<br>۳۷۵  | +       | ++        | ++   | ND      | +++   | +++    | +++                            | +++           | + /۴۵             |
| 4B t1 b  | -۴۹۵<br>۴۲۵  | +       | ++        | +++  | ND      | +++   | +++    | ++                             | ++++          | + /۴۵             |
| 4B t2 b  | -۵۲۵<br>۴۷۵  | +       | ++        | ++   | ND      | +++   | +++    | ++                             | ++++          | + /۴۳             |
| 4B t3 b  | -۵۸۵<br>۵۲۵  | +       | ++        | ++   | ND      | +++   | +++    | ++                             | ++++          | + /۴۲             |

#### Integrated Peak Intensity

شناختی نشده است

\* ND= درصد ۰-۱۰ درصد ۱۰-۲۰ + + ۲۰-۳۰ +++ ۳۰-۴۰ +++++ ۴۰-۶۰ ++++++ ۶۰- درصد

۱- سپر کانیهای مختلط کلریت-ورمیکولیت با کلریت-اسمکتیت است (Sm، Ver، Ch، ورمیکولیت و Sm/I-۲ درصد نسبی اسمکتیت به ایلیت را در کانی مختلط اسمکتیت-ایلیت نشان می دهد).

۲- در این نسبی اسمکتیت به ایلیت نشان داده اند آنالیزهای

اسمکتیت همپوشانی دارد. همانطور که پژوهشگران دیگر نشان داده اند آنالیزهای فروسرخ در شناسائی ترکیب شیمیائی سطحی کانیها کاربرد فراوان دارد [۱۸ و ۲۶]. مشاهدات این نیمرخ نشان می دهد که عدد موجی ۹۱۴ بر سانتی متر در اسمکتیت نشان دهنده فراوانی گروههای Al-Al-OH در سطح این کانی است [۲۱]. شناسائی ورمیکولیت و کانیهای مختلط شبیه شناسائی کلریت با پرتو فروسرخ به راحتی امکان

در این نیمرخ تیمار DMSO بویژه در افق‌هایی که فاقد کلریت است توانسته کائولینیت با تبلور خوب را از کائولینیت با تبلور ضعیف جدا کند. این شناسائی به واسطه افزایش فاصله صفحات بلوری کانی از ۷،۰ نانومتر به ۱،۱۲۶ نانومتر صورت می‌گیرد (شکل ۷-ب). توزیع کانیهای رسی در این نیمرخ در جدول ۳ ارائه شده است. کانیهای ایلیت، کائولینیت، کوارتز و رسهای مختلط تغییرات فاحشی را با عمق نشان نمی‌دهند. در حالی که کانیهای اسمکتیت، ورمیکولیت و کلریت تغییرات شدیدی را از خود نشان می‌دهند. در بخش‌های فوقانی این خاک مقداری کلریت دیده می‌شود که از مواد مادری به ارث رسیده و چنانکه مشاهدات قله رده ۰۶۰ نشان می‌دهد (شکل ۶-ب) کلریت موجود در این خاک از نوع تری اکتاہدرال است. در افق‌های فوقانی نیز ایلیت، کائولینیت و بخش عمده‌ای از اسمکتیت از مواد مادری به ارث رسیده است. در حالی که در مواد مادری اثری از ورمیکولیت دیده نمی‌شود لذا حضور مقدار زیادی ورمیکولیت در بخش سطحی نیمرخ نشان‌دهنده تشکیل خاکرای این کانی است. شرایط فعلی منطقه مورد مطالعه (نژولات ۵۰۰ میلی متر در سال) شرایط را برای هوازدگی و تخریب کلریت و تشکیل ورمیکولیت فراهم می‌کند.

چنانکه شدت‌های نسبی قله‌های زوج و فرد کلریت موجود در افق سطحی نشان می‌دهد، کلریت‌های این منطقه مشابه منطقه اصفهان غنی از آهن‌اند. هوازدگی  $\text{Fe}^{++}$  در کلریت غنی از آهن منجر به تخریب زودتر و شدیدتر کلریت شده و باعث می‌شود تا به راحتی به کانی مختلط کلریت-ورمیکولیت و در نهایت به ورمیکولیت تبدیل شود [۲۰، ۲۷ و ۲۸]. این روند در اعمق بیشتر خاک با شدت بیشتری صورت گرفته به طوری که اثری از کلریت دیده نمی‌شود و حتی ورمیکولیت نیز با عمق کاهش یافته و بر شدت اسمکتیت افزوده شده است به طوری که در افق‌ها آرجیلیک مذفون شده به حداقل خود می‌رسد. در دوره پلیستسین، همزمان با دوره‌های یخچالی در مناطق اروپا بر ایران دوره‌های سرد و مرطوب حکم‌فرما بوده است که شرایط مناسبتری برای هوازدگی و تخریب کانیها فراهم بوده است. نتایج ژئوشیمیائی خاک مورد مطالعه [۲۹] نیز این شرایط را تأیید می‌کنندکه در شرایط مرطوب گذشته شرایط مناسبتری برای

تبديل کانیهای اولیه به ورمیکولیت و سپس اسمکتیت فراهم بوده است. کاهش قابل توجه آهک با عمق در این نیمرخ نیز این مسئله را نشان می‌دهد (جدول ۲). نسبت Sm/I در کانیهای مختلط اسمکتیت - ایلیت (محاسبه شده به روش مرینگر) [۳۰] در جدول ۴ ارائه شده است. با افزایش عمق، نسبت اسمکتیت به ایلیت در این کانیها به مقدار قابل توجّهی افزایش نشان می‌دهد که این روند نیز وجود شرایط با هوازدگی بیشتر در گذشته را تائید می‌کند.

#### برداشت

نتایج این مطالعه نشان می‌دهد که در منطقه اصفهان، پالیگورسکیت در گذشته و در شرایط لاگونی موجود در اواخر ترشیاری به علت شرایط شیمیائی مناسب از لحاظ pH و نسبت Mg/Ca تشکیل شده است. در حالیکه شرایط برای تغییر و تحول کانیهای دیگر نظیر ایلیت، کانولینیت و کلریت وجود نداشته و بیشتر از مواد مادری به ارث رسیده‌اند. مطالعات پژوهشگران دیگر نیز این نتیجه را تائید می‌کنند [۷]. در منطقه امام قیس چها محل و بختیاری نتایج کانی‌شناسی نشان می‌دهد که در حال حاضر شرایط برای تبدیل کانیهای اولیه نظیر کلریت به ورمیکولیت و اسمکتیت وجود دارد ولی مقادیر قابل توجّهی اسمکتیت و عدم حضور کلریت در افق‌های مدفون شده نشان‌دهنده شرایط مرتبط‌تر گذشته در این منطقه است. لذا با توجه به مباحث انجام شده و نتایج حاصله می‌توان بر استفاده از کانی‌شناسی به عنوان ابزار و شاخص اقلیمی در علم دیرینه‌شناسی خاک تاکید نمود.

#### سپاسگزاری

بدینوسیله از زحمات بی‌دریغ جناب آقای پروفسور اوتنر، عضویت علمی دانشگاه علوم کشاورزی وین- اتریش، به خاطر پیشنهادات ارزنده و همکاریهای صمیمانه ایشان و تامین امکانات آزمایشگاهی برای انجام این کار پژوهشی تشکر و قدردانی می‌شود.

## مراجع

1. Rettallack G.J., *Soils of the past. Unwin Hyman Pub*, Boston (1990) p. 520.
2. Hogan G.D., Beatty M.T., *Soil. Sci. Soc. Am. Proc.* **27** (1963) 345-350.
3. Michel L., *Soil . Sci. Soc. Am. J.* **50** (1986) 981-987.
4. Tremcoldi W.A., Steinhard G.C, Freanmeier D.P., *Geoderma*. **63** (1994) 77-93.
5. Sanjurijo M.J.F., Corti G, Ugolini F.C., *Catena*. **43** (2001) 251-265.
6. Wang W.M., Yeh H.W., Chen P.Y, Wang M.K., *Clay and Clay Minerals.* **46** (1998) 1-9.
7. Khademi H., Mermut A.R., *Clay Minerals* **33** (1998) 561-578.
8. USDA-NRCS, *Defenition and abbreviation for soil descriptions*, Portland Oregon (1988) p. 14.
9. Day P.R., *Methods of soil analysis. (Part 1)*, American Society of Agronomy, Madison, WI (1965) pp. 545-567.
10. Chapman H.D., *Methods of soil analysis (Part2)*, American society of Agronomy, Madison, WI (1965) pp. 891-901.
11. زرین کفش م., خاکشناسی کاربردی، انتشارات دانشگاه تهران (۱۳۷۲) ۳۴۲ صفحه.
12. Allison L.E., *Methods of soil analysis (Part2)*, Agronomy, Madison, WI (1965) pp. 1367-1378.
13. Kunze G.W., Dixon J.B., *Methods of soil analysis. (Part 1)*, 2'nd edition, Agronomy mong. no: 9 (1986) pp. 91-100.
14. تومانیان ن., پایان نامه کارشناسی ارشد، دانشگاه صنعتی اصفهان (۱۳۷۴) ۲۱۹ صفحه.
15. Shadfan H., Dixon J., *Occurrence, genesis and uses. Developments in Sedimentology* **37**, Elsevier, Amsterdam (1984) pp. 187-198.
16. Shadfan H., Hussen A.A., Alaily F., *Clay Miner.* **20** (1985) 405-413.
17. Shadfan H., Mashhady A.S., *Soil Sci. Soc. Am. J.* **49** (1985) 243-250.
18. Olphen H.V., Fripiat. J.J., *Data handbook for clay mineralogy and other non-metallic minerals*, Pergamon Press (1979) p. 346.
19. Farmer V.C., *The infrared spectra of minerals*, Mineralogical society, London (1964).
20. Murray H.H., Leininger R.K., *Clays Caly Miner.* **4** (1956) 340-347.

- ایوبی، جلالیان، کریمیان اقبال، خانسی، روز بطلب
21. Russell J.D., *Infrared methods In. A handbook of determinative methods in clay mineralogy*, Chapman and Hall, New York (1987) p. 308.
  22. Garcia S.G., Camazano M.S., *Clay and Clay Minerals* 7 (1968) 447-450.
  23. Churchman G.J., *Clay and Clay Minerals* 38 (1990) 591-599.
  24. Buol S.W., Hole F.D, McCracken R.J., *Soil genesis and classification*, Iowa State University, Press, Ames. (1989) p. 360.
  25. Singer A., *Minerals in soil environments*, SSSA book series, no: 1, Soil Science Society of America Madison, WI (1989) pp:829-872.
  26. Farmer V.C., Russell J.D., *Spectrochim. Acta* 20 (1964) 1149-1173.
  27. Bain D.C., *Journal of soil science* 28 (1977) 144-164.
  28. Butler J.R., *Geochim. Cosmochim. Acta*. 4 ( 1953) 157-178.
۲۹. ایوبی ش.ا، جلالیان ا، کریمیان اقبال م، در حال انتشار.
30. Moore D.M., Roynolds R.C., *X-ray Diffraction and the identification and analysis of clay mineral*, 2'nd. Edition, Oxford University Press (1997) p. 378.